

تحلیل خیز صفحات چهار گوش FGM براساس تئوری کلاسیک صفحات به روش کانتروویچ توسعه یافته

شیما آذری^۴فؤاد سلماسی^۳مجید علوی^۲محمد مهدی نجفی زاده^{۱*}

* نویسنده مسئول: m-najafizadeh@iau-arak.ac.ir

چکیده

تحلیل خیز ورق FGM تحت بارگذاری یکنواخت و سینوسی منجر به حل معادله دیفرانسیل با مشتقات جزئی مرتبه چهار می‌شود که برای حل چنین معادله‌ای روش‌های عددی متفاوتی ارائه شده است. روش تحلیل در این مقاله بر پایه روش تکرار شونده کانتروویچ توسعه یافته است. در روش حل تکرار شونده، معادلات دیفرانسیل به کمک روش گلرکین بدست می‌آیند. تحلیل بر مبنای فرضیات تئوری کلاسیک صفحات استوار است. صحت نتایج حاصل برای ورق FGM، تحت شرایط تکیه گاهی متفاوت، با نتایج حاصل از حل ANSYS و همچنین حل به روش ناویر مقایسه و تأیید شده است. از آنجایی که در ANSYS مدلی برای تحلیل ورق FGM وجود ندارد، در مدلسازی و تحلیل از برنامه نویسی ماکرو استفاده شده است. نتایج نشان می‌دهد روش کانتروویچ، روش دقیقی برای حل معادلات بوده و پاسخ‌ها به سرعت همگرا می‌شوند. همچنین پاسخ‌های نهایی مستقل از انتخاب تابع آزمون اولیه برای حل معادله می‌باشد.

واژه‌های کلیدی: روش کانتروویچ توسعه یافته، ورق FGM، روش گلرکین، تئوری کلاسیک صفحات.

۱- دانشیار، دانشکده مکانیک، دانشگاه آزاد اسلامی واحد اراک

۲- استادیار، دانشکده علوم، گروه ریاضی، دانشگاه آزاد اسلامی واحد اراک

۳- دانشجوی کارشناسی ارشد، دانشکده مکانیک، دانشگاه آزاد اسلامی واحد اراک

۴- دانشجوی کارشناسی ارشد، دانشکده مکانیک، دانشگاه آزاد اسلامی واحد اراک

۱- مقدمه

۱. روش ریلی - ریتز (Rayleigh-Ritz)
۲. روش بابنو - گلرکین (Bubnov - Galerkin)
۳. روش پترو - گلرکین (Petrov - Galerkin)
۴. روش کانتروویچ (Kantorovich)
۵. روش ترفت (Treffitz)

در این مقاله از روش کانتروویچ توسعه یافته برای حل معادله دیفرانسیل تعادل ورق استفاده شده است، که معادلات دیفرانسیل به کمک روش گالرکین بدست می‌آیند. سپس نتایج حاصل برای ورق FGM، تحت شرایط تکیه گاهی متفاوت، با نتایج حاصل از حل ANSYS و همچنین حل به روش ناویر مقایسه شده است.

۲- روش کانتروویچ

این روش یکی از انواع روش‌های باقیمانده وزنی است که برای حل معادله دیفرانسیل به کار می‌رود. این روش نخستین بار توسط کانتروویچ [۱-۳]، برای حل عددی مسائل خمش ورق‌های نازک مستطیلی در سال ۱۹۳۳ به کار گرفته شد.

روش کانتروویچ توسط کر [۴] در سال ۱۹۶۸ برای حل مسئله پیچش میله منشوری با مقطع مستطیل شکل مورد استفاده قرار گرفت. در سال ۱۹۶۹، بایومی [۵]، با استفاده از روش کانتروویچ توسعه یافته کمانش صفحات مستطیل شکل با نسبت ابعاد مختلف را حل نمود. نتایج این آنالیز‌ها تطابق زیادی با حل‌های شناخته شده ای که در دسترس می‌باشد، دارد.

پس از آن این روش برای حل مسائل گوناگون در الاستیسیته دو بعدی از جمله مسئله خمش ورق نازک مستطیل شکل ایزوتروپ [۸-۶]، حل مسئله مقدار ویژه در سال ۱۹۶۹ توسط کر [۹]، ارتعاشات آزاد [۱۰-۱۱]، کمانش [۱۲-۱۴] و آنالیز کرنش [۱۵] توسط کیم مورد توجه قرار گرفت.

همچنین صحت روش کانتروویچ در مختصاتی غیر از مختصات کارتزین توسط اقدم در سال ۲۰۰۷ برای آنالیز تنش قطعه [۱۶] و خمش ورق قطعه نازک اورتوتروپ [۱۷] در سال ۲۰۰۷ و ابوحمزه [۱۸] در سال ۲۰۰۷ برای پنل استوانه‌ای کامپوزیت مورد بررسی قرار گرفته است.

طرز عملکرد روش کانتروویچ برای حل معادله دیفرانسیل به این صورت است که تابع را به صورت

در علم مکانیک، مسائلی وجود دارد که دارای شکل هندسی معین و یا معادلات دیفرانسیل خطی می‌باشند. برای این مسائل روش‌های تحلیلی جهت حل معادلات تعادل پیشنهاد شده است. تنها زمانی که دو لبه موازی در ورق دارای تکیه گاه ساده می‌باشند، می‌توان به یک راه حل ریاضی دقیق بر پایه روش ناویر دست یافت که رفتار خمشی ورق مستطیلی را تحلیل کند. برای هر ترکیب دیگری از شرایط مرزی لازم است از روش‌های حل تقریبی دیگری مانند روش انرژی و یا المان محدود استفاده کرد.

اما بسیاری از مسائل وجود دارند که دارای شکل هندسی ساده نمی‌باشند و یا معادلات حاکم بر آنها غیر خطی است و حل تحلیلی برای آنها وجود ندارد، لذا از روش‌های حل عددی برای حل چنین مسائلی استفاده می‌گردد.

این روش‌ها که در علوم مهندسی کاربرد وسیعی یافته‌اند، یا بر اساس مینیمم نمودن فانکشنال^۱ یا بر مبنای حل ضعیف معادلات^۲ استوارند. این روش‌ها به روش‌های مستقیم^۳ موسومند. زیرا جوابها به وسیله مستقیم از معادلات تغییراتی^۴ به دست آمده‌اند.

جواب مفروض ترکیب خطی از فضای برداری است و از آنجاییکه در یک مسئله واقعی پیوسته بینهایت درجه آزادی وجود دارد و جواب تقریبی در نظر گرفته شده تعادل محدودی از این درجات آزاد را از فضای برداری انتخاب می‌کند، لذا جواب‌های مسائل با درجات آزادی محدود، سبب ایجاد خطأ در مسئله می‌شود. فقط می‌توان جواب‌های تقریبی^۵ از جواب‌های دقیق روابط حاکم را به دست آورد چنانچه تعداد جملات به کار گرفته شده افزایش یابد خطای جواب‌ها کاهش پیدا نموده و جوابها به سمت جواب‌های دقیق میل می‌کند.

روش‌های معروف تقریبی تغییراتی که در بیان فرم تغییراتی و همچنین فضای توابع تقریب با هم متفاوتند، عبارت‌اند از:

۱ - Functional

۲ - Weak Form

۳ - Direct Method

۴ - Variational

۵ - Approximate

تنها تعداد کمی از تحقیقات پاسخ خمشی ورق را با استفاده از روش کانتروویچ بدست آورده‌اند و تاکنون تمامی آنها به حالتی که تمام لبه‌های ورق گیردار باشد محدود شده‌اند. کر و دالی [۲۰]، حالتی را که ورق لایه‌ای مستطیلی مبتنی بر تئوری کلاسیک است بررسی کرده‌اند و متوجه شدند که همگرایی در جواب روشی که مبتنی بر روش کانتروویچ توسعه یافته است بسیار سریع بوده و شکل نهایی پاسخ به دست آمده مستقل از نخستین انتخاب است. اقدم [۷]، پاسخی را برای خمش در ورق مستطیلی از نوع رایزنر و ایزوتروپیک گیردار به دست آورده است. اقدم، فلاحتگر^۶ [۸]، این مدل را برای رسیدن به رفتار خمشی در ورق‌های مستطیلی ضخیم گسترش دادند. یوان^۷ [۱۲]، روش کانتروویچ توسعه یافته را برای حل مسائل خمش در ورق‌های مستطیلی با کاربرد تابع آزمون و با استفاده از تئوری کلاسیک صفحات به کار برد. همانطور که قبلاً توضیح داده شد، روش کانتروویچ دو مدل دارد: روش کلاسیک و روش توسعه یافته.

۲- روش کانتروویچ کلاسیک^۸

روش کلاسیک در سال ۱۹۵۸ توسط کریلاو کانتروویچ^۹ [۳]، ارائه شد و مربوط می‌شود به راه حل‌های نیمه تحلیلی که معادلات دیفرانسیل جزیی حاکم را به معادلات دیفرانسیل معمولی تبدیل می‌کنند. این معادلات را می‌توان با استفاده از روش گلرکین و اصل حداقل انرژی پتانسیل به دست آورد. در این حالت فرض می‌کنیم که جابه‌جایی ورق به فرم زیر است:

$$w_m(x, y) = \sum_{n=1}^m f_n(x) \cdot g_{n-1}(y) \quad (2)$$

که $(y)_1 g_{n-1}$ تابع انتخابی قبلی هستند.

رابطه (۲) را در معادله حرکت ورق جانشین می‌کنیم و سپس روش گلرکین را به کار می‌بریم و با استفاده از قضیه اساسی حساب تغییرات، m معادلات دیفرانسیل معمولی برای

حاصلضرب توابعی از متغیرهای موجود در معادله دیفرانسیل در نظر می‌گیرند. یعنی یک جمله کانتروویچ به فرم:

$$W(x, y) = K \cdot \Phi(x) \cdot \Psi(y) \quad (1)$$

در نظر گرفته می‌شود، که ضریب K برای بی بعد کردن توابع $(y), \Phi(x), \Psi(y)$ می‌باشد.

تابع انتخاب شده در ابتدا الزامی به ارضا شرایط مرزی ندارد و همچنین جواب نهایی بعد از چند تکرار مستقل از تابع انتخاب شده خواهد بود.

در معادله (۱) یکی از توابع $(y), \Phi(x), \Psi(y)$ را معلوم فرض نموده و با قرار دادن معادله (۱) در معادله دیفرانسیل خمش ورق و با استفاده از یکی از روش‌های باقیمانده وزنی^۱ معادله دیفرانسیل دیگری که به صورت معادله دیفرانسیل کامل می‌باشد، به دست خواهد آمد. در مرحله بعد جواب به دست آمده را معلوم فرض نموده و به کمک رابطه (۱) و معادله دیفرانسیل مسئله تابع دیگر را به دست می‌آوریم. این عمل را تکرار نموده تا جوابها به مقدار خاص همگرا شوند.

در روش کانتروویچ حل معادلات دیفرانسیل با مشتقات جزئی^۲ منجر به حل معادلات دیفرانسیل معمولی^۳ می‌گردد. معمولاً امکان حل معادلات دیفرانسیل با دقت بالاتری نسبت به روش ریتز می‌باشد.

در این مقاله یک روش حل با استفاده از روش کانتروویچ توسعه یافته برای بررسی رفتار خمشی در یک ورق FGM ارائه شده است. ورق‌ها برای هر شرایط مرزی موردنیاز می‌توانند حل شوند.

دو مدل روش کانتروویچ وجود دارد: روش کلاسیک و روش توسعه یافته، [۱۲-۴]. این دو روش برای محاسبه نیروهای کمانش^۴ در ورق‌های فشرده^۵ استفاده می‌شود، [۱۹ و ۱۳]. برای مثال، اونگ هاک رون از این روش برای حل مسئله کمانش ورق‌های کامپوزیت با تکیه گاه‌های مختلف در لبه استفاده کرده‌اند. این پاسخ بر پایه اصل مینیمم انرژی پتانسیل است [۱۳].

^۱- Weighted Residual

^۲- Partial Differential Equation

^۳- Ordinary Differential Equation

^۴ - buckling loads

^۵ - Compressed plates

^۶- Falahatgar

^۷- Yuan

^۸- The classical Kantorovich method

^۹- Krylov kantorovich

می باشد. با در نظر گرفتن تئوری کلاسیک صفحات، مولفه های جابه جایی به صورت زیر تعریف می شوند:

$$\begin{aligned} u(x, y, z) &= u_{\circ}(x, y) - z \frac{\partial w_{\circ}}{\partial x} \\ v(x, y, z) &= v_{\circ}(x, y) - z \frac{\partial w_{\circ}}{\partial y} \\ w(x, y, z) &= w_{\circ}(x, y) \end{aligned} \quad (4)$$

که در روابط فوق (x, y) و $v_{\circ}(x, y)$ مولفه های کشش صفحه میانی هستند.

مولفه های کرنش نرمال ϵ_{xx} و ϵ_{yy} و کرنش برشی γ_{xy} ، در هر نقطه از ضخامت ورق به فاصله z از صفحه میانی مطابق روابط زیر تعریف می شوند: [۲۳]

$$\left\{ \epsilon \right\} = \left\{ \epsilon^{(0)} \right\} + (z) \left\{ \epsilon^{(1)} \right\} \quad (5)$$

که در آن:

$$\begin{aligned} \left\{ \epsilon \right\} &= \left\{ \epsilon_{xx}, \epsilon_{yy}, \gamma_{xy} \right\}^T \\ \left\{ \epsilon^{(0)} \right\} &= \left\{ \frac{\partial u_{\circ}}{\partial x} + \frac{1}{2} \left(\frac{\partial w_{\circ}}{\partial x} \right)^2, \frac{\partial v_{\circ}}{\partial y} + \frac{1}{2} \left(\frac{\partial w_{\circ}}{\partial y} \right)^2, \right. \\ &\quad \left. \frac{\partial v_{\circ}}{\partial x} + \frac{\partial u_{\circ}}{\partial y} + \frac{\partial w}{\partial y} \frac{\partial w}{\partial x} \right\}^T \\ \left\{ \epsilon^{(1)} \right\} &= \left\{ -\frac{\partial^2 w}{\partial x^2}, -\frac{\partial^2 w}{\partial y^2}, -\frac{\partial^2 w}{\partial x \partial y} \right\} \end{aligned} \quad (6)$$

روابط تنש - کرنش برای ورق کامپوزیت به صورت زیر بیان می شود: [۲۵]

$$\begin{bmatrix} \sigma_{xx} \\ \sigma_{yy} \\ \sigma_{xy} \end{bmatrix} = [Q] \begin{bmatrix} \epsilon_{xx} \\ \epsilon_{yy} \\ \epsilon_{xy} \end{bmatrix} \quad (7)$$

که $[Q]$ ماتریس سختی کاهش یافته ورق کامپوزیت می باشد و برای ورق FGM به صورت زیر تعریف می شود: [۲۴]

$$[Q] = \frac{E(z)}{1 - \nu_{fgm}} \begin{bmatrix} 1 & \nu_{fgm} & 0 \\ \nu_{fgm} & 1 & 0 \\ 0 & 0 & \frac{1 - \nu_{fgm}}{2} \end{bmatrix} \quad (8)$$

که ν_{fgm} ضریب پواسون و $E(z)$ مدول الاستیسیته ورق FGM بوده و از رابطه زیر به دست می آید: [۲۶]

$$E(z) = (E_c - E_m) \left(\frac{z}{h} + \frac{1}{2} \right)^k + E_m \quad (9)$$

تعیین m تابع مجھول (x) به دست خواهد آمد. این معادلات دیفرانسیل توسط شرایط مرزی متناظر حل می شوند. سپس توابع $f_n(x)$ بوجود آمده را دوباره در معادله (۲) جانشین می کنیم. باید توجه داشت که اگر اولین پاسخ فرضی در مرحله اول تمام شرایط مرزی را ارضاء کند، پاسخ برای کانتروویج کلاسیک ساده یک نتیجه قابل قبول خواهد داد.

۲-۲ - روش کانتروویج توسعه یافته

در این روش عملیات تکرار ادامه می یابد تا پاسخ به درجه دقت مطلوب همگرا شود. برای این حالت فرض می کنیم خیز ورق به فرم زیر باشد.

$$w_m(x, y) = \sum_{n=1}^m f_n(x) \cdot g_n(y) \quad (3)$$

که $f_n(x)$ توابع به دست آمده از مرحله قبل (کانتروویج کلاسیک) است و $g_n(y)$ مجھول است. (y) از m معادله خطی به دست می آیند. عملیات تکرار با جایگزینی مجدد (y) در معادله (۲) و به دست آوردن مجھول $f_n(x)$ ادامه می یابد. کر، الکساندر [۲۱]، متوجه شدند که روش تکرار شونده به سرعت همگراست، و همینطور شکل نهایی معادله به دست آمده مستقل از انتخاب اولیه $g_n(y)$ است. به علاوه هر چند روش کانتروویج توسعه یافته مبتنی بر اصل تغییرات است، تابع آزمون اولیه لازم نیست هیچکدام از شرایط مرزی هندسی و طبیعی را ارضاء کند. روش تکرار شونده پاسخ هایی می دهد که سرانجام تمام شرایط مرزی را ارضاء می کند. [۱۲]

۳ - استخراج معادلات تعادل ورق مستطیل شکل FGM بر اساس تئوری کلاسیک صفحات

یک ورق مستطیل شکل از جنس FGM به طول a ، عرض b و ضخامت h مفروض است. ورق تحت بارگذاری مکانیکی

^۱-The extended Kantorovich method

^۲-Alexander

$$\{N\} = \begin{Bmatrix} N_{xx} \\ N_{yy} \\ N_{xy} \end{Bmatrix} = \{0\} \quad (14)$$

$$\{M\} = \begin{Bmatrix} M_{xx} \\ M_{yy} \\ M_{xy} \end{Bmatrix} = \begin{Bmatrix} D_{11} & D_{12} & 0 \\ D_{12} & D_{22} & 0 \\ 0 & 0 & D_{66} \end{Bmatrix} \begin{Bmatrix} -\frac{\partial^2 w}{\partial x^2} \\ -\frac{\partial^2 w}{\partial y^2} \\ -2\frac{\partial^2 w}{\partial x \partial y} \end{Bmatrix} \quad (15)$$

$$M_{xx} = -D_{11} \frac{\partial^2 w}{\partial x^2} - D_{12} \frac{\partial^2 w}{\partial y^2}$$

$$M_{yy} = -D_{12} \frac{\partial^2 w}{\partial x^2} - D_{22} \frac{\partial^2 w}{\partial y^2} \quad (16)$$

$$M_{xy} = -2D_{66} \frac{\partial^2 w}{\partial x \partial y}$$

معادلات تعادل ورق با تئوری CLPT عبارت اند از:

$$\begin{aligned} \frac{\partial N_x}{\partial x} + \frac{\partial N_{xy}}{\partial y} &= 0 \\ \frac{\partial N_{xy}}{\partial x} + \frac{\partial N_y}{\partial y} &= 0 \\ \frac{\partial^2 M_x}{\partial x^2} + 2 \frac{\partial^2 M_{xy}}{\partial x \partial y} + \frac{\partial^2 M_y}{\partial y^2} + N_x \frac{\partial^2 w}{\partial x^2} + \\ 2N_{xy} \frac{\partial^2 w_{xy}}{\partial x \partial y} + N_y \frac{\partial^2 w_y}{\partial y^2} + q &= 0 \end{aligned} \quad (17)$$

پس از جایگذاری (16) در (17):

$$\begin{aligned} -D_{11} \frac{\partial^4 w}{\partial x^4} - 2(D_{12} + 2D_{66}) \frac{\partial^4 w}{\partial x^2 \partial y^2} - D_{22} \frac{\partial^4 w}{\partial y^4} \\ + N_x \frac{\partial^2 w}{\partial x^2} + 2N_{xy} \frac{\partial^2 w}{\partial x \partial y} + N_y \frac{\partial^2 w}{\partial y^2} + q = 0 \end{aligned} \quad (18)$$

و با صرفنظر از نیروهای درون صفحه‌ای به شکل ساده‌تر داریم:

$$\begin{aligned} -D_{11} \frac{\partial^4 w(x, y)}{\partial x^4} - 2(D_{12} + 2D_{66}) \frac{\partial^4 w(x, y)}{\partial x^2 \partial y^2} \\ - D_{22} \frac{\partial^4 w(x, y)}{\partial y^4} + q(x, y) = 0 \end{aligned} \quad (19)$$

در نتیجه معادلات تعادل ورق مستطیل شکل FGM بر اساس

تئوری CLPT به صورت زیر بدست می‌آید:

$$\begin{aligned} D_1 \frac{\partial^4 w(x, y)}{\partial x^4} + D_2 \frac{\partial^4 w(x, y)}{\partial x^2 \partial y^2} + D_3 \frac{\partial^4 w(x, y)}{\partial y^4} \\ = q(x, y) \end{aligned} \quad (20)$$

در رابطه بالا پارامتر $k \geq 0$ ثابت ماده^۱ FGM است.

نیروها و ممانها در واحد طول بر حسب مؤلفه‌های تنش به

صورت زیر بیان می‌شوند:^{۲۳}

$$\begin{aligned} \begin{Bmatrix} M_{xx} \\ M_{yy} \\ M_{xy} \end{Bmatrix} &= \int_{-h/2}^{h/2} \begin{Bmatrix} \sigma_{xx} \\ \sigma_{yy} \\ \sigma_{xy} \end{Bmatrix} \cdot z \cdot dz \\ \begin{Bmatrix} N_{xx} \\ N_{yy} \\ N_{xy} \end{Bmatrix} &= \int_{-h/2}^{h/2} \begin{Bmatrix} \sigma_{xx} \\ \sigma_{yy} \\ \sigma_{xy} \end{Bmatrix} \cdot dz \end{aligned} \quad (10)$$

با جایگذاری مقادیر تنش از رابطه (7) داریم:

$$\begin{aligned} \{N\} &= [A] \{e^{(0)}\} \\ \{M\} &= [D] \{e^{(1)}\} \end{aligned} \quad (11)$$

که در آن [A] ماتریس سختی کششی^۲ و [D] ماتریس

صلبیت خمی^۳ نامیده می‌شوند و عبارت‌اند از:

$$\begin{aligned} [D] &= D \cdot \begin{bmatrix} 1 & \nu_{fgm} & 0 \\ \nu_{fgm} & 1 & 0 \\ 0 & 0 & \frac{1-\nu_{fgm}}{2} \end{bmatrix} \\ [A] &= A \cdot \begin{bmatrix} 1 & \nu_{fgm} & 0 \\ \nu_{fgm} & 1 & 0 \\ 0 & 0 & \frac{1-\nu_{fgm}}{2} \end{bmatrix} \end{aligned} \quad (12)$$

که در آن:

$$\begin{aligned} A &= \int_{-\frac{h}{2}}^{\frac{h}{2}} \frac{E(z)}{-\frac{h}{2} \nu_{fgm}} dz \\ D &= \int_{-\frac{h}{2}}^{\frac{h}{2}} \frac{z^4 E(z)}{(-\frac{h}{2} \nu_{fgm})^2} dz \end{aligned} \quad (13)$$

با صرفنظر از مؤلفه‌های کشش صفحه میانی ($u_{\circ}(x, y)$ و $v_{\circ}(x, y)$) و جمله‌ها مرتبه بالای کرنش^۴، مقادیر منتجه‌های نیرو و ممان به صورت زیر نوشته می‌شوند:

^۱ – Material constant

^۲ – Extensional Stiffness Matrix

^۳ – Bending Stiffness Matrix

^۴ – Large Deflection

با ساده سازی رابطه (۲۵) و تعریف مقادیر H_i به صورت زیر:

$$\begin{aligned} H_{\mathfrak{f}} &= D_1 \int_0^b W^{\mathfrak{f}}(y) \cdot dy \\ H_{\mathfrak{r}} &= D_{\mathfrak{r}} \int_0^b \frac{d^{\mathfrak{r}} W(y)}{dy^{\mathfrak{r}}} \cdot W(y) \cdot dy \\ H_{\circ} &= D_{\circ} \int_0^b \frac{d^{\mathfrak{r}} W(y)}{dy^{\mathfrak{r}}} W(y) \cdot dy \\ F(x) &= \int_0^b q(x, y) \cdot W(y) \cdot dy \end{aligned} \quad (26)$$

معادله (۲۴) به شکل یک معادله دیفرانسیل معمولی از مرتبه ۴

به صورت زیر به دست می آید:

$$H_{\mathfrak{f}} \cdot \frac{d^{\mathfrak{f}} W(x)}{dx^{\mathfrak{f}}} + H_{\mathfrak{r}} \cdot \frac{d^{\mathfrak{r}} W(x)}{dx^{\mathfrak{r}}} + H_{\circ} \cdot W(x) = F(x) \quad (27)$$

مقدار نیرو را به صورت زیر تعریف می کنیم: [۲۲]

$$q(x, y) = q_{\circ} \cdot \sin(k_x \cdot x) \sin(k_y \cdot y) \quad (28)$$

$$k_x = \frac{m \pi}{a}, k_y = \frac{n \pi}{b}$$

با جایگذاری این عبارات در معادله دیفرانسیل (۲۷) داریم:

$$\begin{aligned} H_{\mathfrak{f}} \cdot \frac{d^{\mathfrak{f}} W(x)}{dx^{\mathfrak{f}}} + H_{\mathfrak{r}} \cdot \frac{d^{\mathfrak{r}} W(x)}{dx^{\mathfrak{r}}} + H_{\circ} \cdot W(x) = \\ q_{\circ} \cdot \sin(k_x \cdot x) \int_0^b W(y) \sin(k_y \cdot y) dy \end{aligned} \quad (29)$$

معادله (۲۹) یک معادله دیفرانسیل معمولی غیر همگن از مرتبه ۴ می باشد که جوابهای عمومی و خصوصی آن به ترتیب عبارت اند از:

$$W(x) = \sum_{i=1}^4 X_i \cdot \exp(\lambda_i \cdot x) \quad (30)$$

$$+ \frac{q_{\circ} \cdot \sin(k_x \cdot x)}{H_{\mathfrak{f}} k_x^{\mathfrak{f}} - H_{\mathfrak{r}} k_x^{\mathfrak{r}} + H_{\circ}} \int_0^b W(y) \sin(k_y \cdot y) \cdot dy$$

که در این رابطه مقادیر λ_i عبارت است از چهار ریشه معادله

مشخصه معادله (۲۹)، که به صورت زیر تعیین می شود:

$$\lambda_i = \pm \frac{\sqrt{2} \sqrt{H_{\mathfrak{f}} (-H_{\mathfrak{r}} \pm \sqrt{-H_{\mathfrak{r}}^2 - 4 H_{\mathfrak{f}} H_{\circ}})}}{2 H_{\mathfrak{f}}} \quad (31)$$

$i = 1$ تا ۴

ثوابت X_i برای i از ۱ تا ۴ با توجه به شرایط مرزی در راستای x به دست می آیند.

که در آن:

$$\begin{aligned} D_{\mathfrak{f}} &= D_{11} \\ D_{\mathfrak{r}} &= 2(D_{12} + 2D_{\mathfrak{r}\mathfrak{r}}) \\ D_{\circ} &= D_{22} \end{aligned} \quad (21)$$

۴ - حل معادله تعادل ورق مستطیل شکل FGM به روش کانتروویج توسعه یافته

در قسمت قبل معادلات تعادل ورق مستطیل شکل FGM بر اساس تئوری CLPT به صورت رابطه (۲۰) به دست آمد، اکنون به حل این معادله با روش کانتروویج می پردازیم. ابتدا از روش گلرکین استفاده می کنیم به این صورت که طرفین معادله بالا را در $w(x, y)$ ضرب کرده و روی محدوده ورق انتگرال می گیریم، پس داریم:

$$\begin{aligned} \int_0^a \int_0^b (D_{\mathfrak{f}} \frac{\partial^{\mathfrak{f}} w(x, y)}{\partial x^{\mathfrak{f}}} + D_{\mathfrak{r}} \frac{\partial^{\mathfrak{r}} w(x, y)}{\partial x^{\mathfrak{r}} \partial y^{\mathfrak{r}}} + D_{\circ} \frac{\partial^{\mathfrak{r}} w(x, y)}{\partial y^{\mathfrak{r}}}) \\ - q(x, y)) \cdot w(x, y) \cdot dx \cdot dy = 0 \end{aligned} \quad (22)$$

که در آن a و b ابعاد ورق می باشند.

با توجه به آنچه که در روش کانتروویج گفته شد،تابع تغییر مکان $w(x, y)$ را به صورت حاصلضرب دوتابع مستقل (x, y) به صورت زیر در نظر می گیریم:

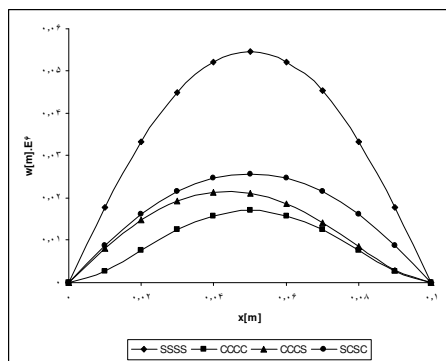
$$w(x, y) = W(x) \cdot W(y) \quad (23)$$

بر اساس روش کانتروویج یکی از این توابع به عنوان مثال $W(y)$ را معلوم فرض نموده و با جایگذاری در معادله (۲۲) داریم:

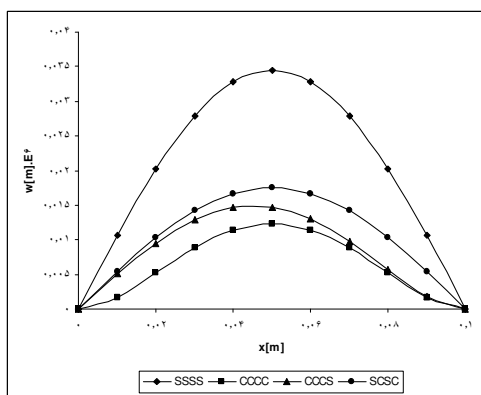
$$\begin{aligned} \int_0^a \left[\int_0^b (D_{\mathfrak{f}} \frac{d^{\mathfrak{f}} W(x)}{dx^{\mathfrak{f}}} \cdot W(y) + D_{\mathfrak{r}} \frac{d^{\mathfrak{r}} W(x)}{dx^{\mathfrak{r}}} \cdot \frac{d^{\mathfrak{r}} W(y)}{dy^{\mathfrak{r}}} \right. \\ \left. + D_{\circ} \cdot W(x) \cdot \frac{d^{\mathfrak{r}} W(y)}{dy^{\mathfrak{r}}} - q(x, y)) \cdot W(y) \cdot dy \right] W(x) \cdot dx = 0 \end{aligned} \quad (24)$$

رابطه (۲۴) در صورتی برقرار است که عبارت داخل کروشه برابر صفر باشد، پس:

$$\begin{aligned} \int_0^b (D_{\mathfrak{f}} \frac{d^{\mathfrak{f}} W(x)}{dx^{\mathfrak{f}}} \cdot W(y) + D_{\mathfrak{r}} \frac{d^{\mathfrak{r}} W(x)}{dx^{\mathfrak{r}}} \cdot \frac{d^{\mathfrak{r}} W(y)}{dy^{\mathfrak{r}}} \\ + D_{\circ} \cdot W(x) \cdot \frac{d^{\mathfrak{r}} W(y)}{dy^{\mathfrak{r}}} - q(x, y)) \cdot W(y) \cdot dy = 0 \end{aligned} \quad (25)$$



شکل (۱) خیز ورق (k=۵) FGM تحت بارگذاری یکنواخت بر اساس تئوری CLPT به روش کانتروویچ توسعه یافته



شکل (۲) خیز ورق (k=۵) FGM تحت بارگذاری سینوسی بر اساس تئوری CLPT به روش کانتروویچ توسعه یافته

برای حالتی که ورق بر روی دو لبه مفصلی روبروی هم قرار گرفته است، نتایج به دست آمده از روش حل کانتروویچ با پاسخ روش ناوبر مقایسه شده است، شکل (۳).

جدول (۱) مقایسه پاسخ روش کانتروویچ توسعه یافته برای ورق FGM با تکیه گاه مفصلی (SSSS) تحت بارگذاری یکنواخت بر اساس تئوری CLPT با پاسخ روش ناوبر.

X[m]	SSSS	
	W[mm]e⁻³	
	حل به روش کانتروویچ	حل به روش ناوبر
.	.	.
.۰۱	.۰۱۷۷۵۳۰۱	.۰۲۰۳۹۶۸۲
.۰۲	.۰۳۳۱۷۶۲۵	.۰۳۷۲۷۳۷۳
.۰۳	.۰۴۴۸۸۱۱۱	.۰۴۸۲۳۷۷۱۹
.۰۴	.۰۵۲۱۳۲۵۸	.۰۵۴۵۳۱۵۷
.۰۵	.۰۵۴۵۸۱۳۲۹	.۰۵۴۶۴۰۸۸۳
.۰۶	.۰۵۲۱۳۲۵۶	.۰۴۹۷۹۸۲۱۹
.۰۷	.۰۴۵۴۴۳۸۱	.۰۴۰۹۱۴۲۴۸
.۰۸	.۰۳۳۱۷۶۱۵	.۰۲۸۹۷۳۰۰۱
.۰۹	.۰۱۷۷۵۳۱۳	.۰۱۴۹۹۵۲۷
.۱	.	.

همچنین اگر بارگذاری یکنواخت باشد، یعنی داشته باشیم، $q = q_0$ در این صورت جوابهای عمومی و خصوصی عبارت اند از:

$$W(x) = \sum_{i=1}^4 X_i \exp(\lambda_i x) + \frac{q_0}{H_0} \int_0^b W(y) dy \quad (۳۲)$$

در مرحله بعد به کمک مقدار به دست آمده برای تابع $W(x)$ همین روند را برای تعیین (y) طی می کنیم و این روش را تا به دست آوردن نتایج همگرا به یک مقدار قابل قبول تکرار می کنیم.

۵ - نتایج عددی

برنامه محاسباتی برای روش تکرار شونده کانتروویچ توسط نرم افزار MAPLE نوشته شده است، و نتایج به دست آمده با نتایج به دست آمده از روش های حل دیگر برای ورق مشابه مقایسه شده است.

یک ورق تابعی مربعی شکل، به ابعاد $10\text{ cm} \times 10\text{ cm}$ و ضخامت 0.8 mm را انتخاب کرده ایم. برای شروع حل به روش کانتروویچ، به عنوان اولین پاسخ برای روش تکرار شونده، $w(y)$ به فرم $\sin(\pi y/b)$ در نظر گرفته شده است. شرایط مرزی در نظر گرفته شده برای تکیه گاه های مورد بحث در این پژوهه را برای حل کانتروویچ توسعه یافته به صورت زیر تعریف نموده ایم: [۲۲]

$$w_x = \frac{\partial^2 w}{\partial x^2} = \varphi_x = 0 : \text{Simply supported edge}$$

$$w_x = \frac{\partial w}{\partial x} = \varphi_y = 0 : \text{Clamped edge}$$

خواص موادی که مسئله برای آنها حل شده است به شرح زیر است: [۲۶]

Ceramic-metal functionally graded plate:

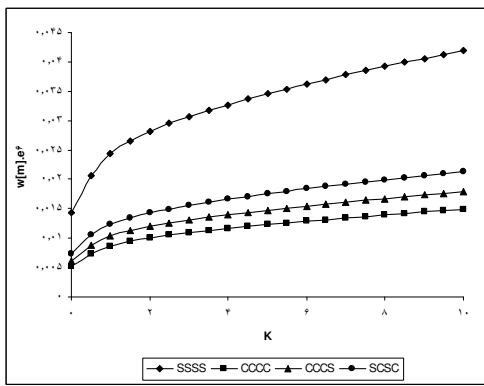
Alumina: $E_c = 380$ [GPa]

Aluminum: $E_m = 70$ [GPa]

$$\nu_{fgm} = 0.3$$

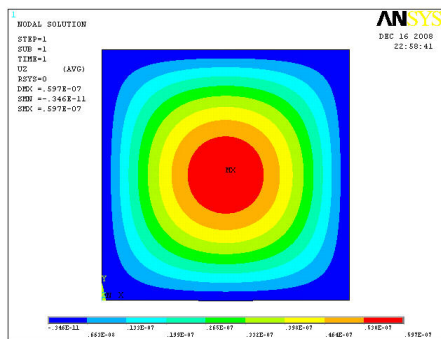
ابتدا مسئله خم شونده ورق مربعی شکل FGM، با خواص مطرح شده برای حالتی که ورق تحت بارگذاری یکنواخت و سینوسی قرار دارد، به کمک روابط به دست آمده در تئوری CLPT، مورد بررسی قرار گرفته است.

که نتایج به دست آمده به صورت شکل (۱) و (۲) در ادامه آمده است.

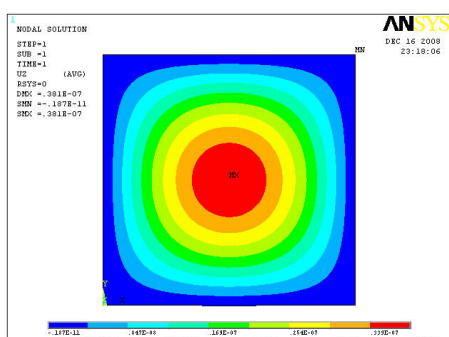


شکل (۵) تغییرات خیز ورق FGM نسبت به مقادیر مختلف k تحت بارگذاری
سینوسی بر اساس ثوری CLPT

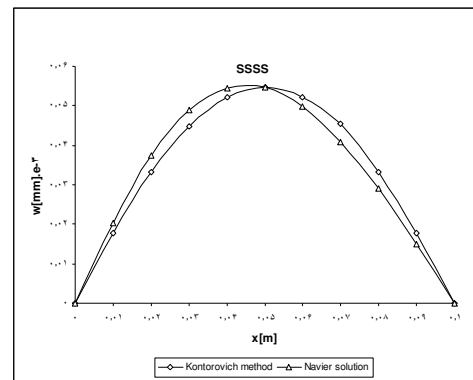
همچنین در راستای ضخامت ورق، چهار المان هریک به ضخامت $0/2\text{ mm}$ و 25 laie در نظر گرفته شده است و در مجموع تعداد لایه های ورق 100 عدد می باشد.
شکل های (۶) تا (۱۳) نتایج تحلیل به کمک ANSYS را برای ورق FGM، با شرایط مرزی مختلف و تحت دو نوع بارگذاری یکنواخت و سینوسی نشان می دهد.



شکل (۶) پاسخ برای ورق FGM تحت بارگذاری
یکنواخت با شرط مرزی SSSS

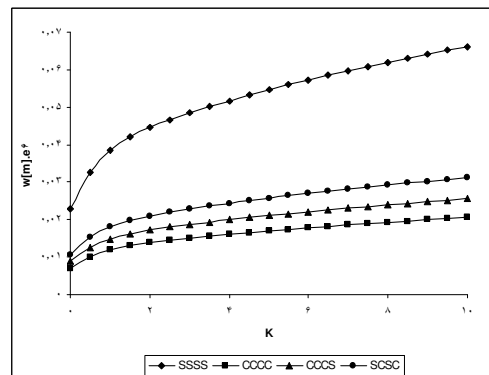


شکل (۷) پاسخ برای ورق FGM تحت بارگذاری
سینوسی با شرط مرزی SSSS



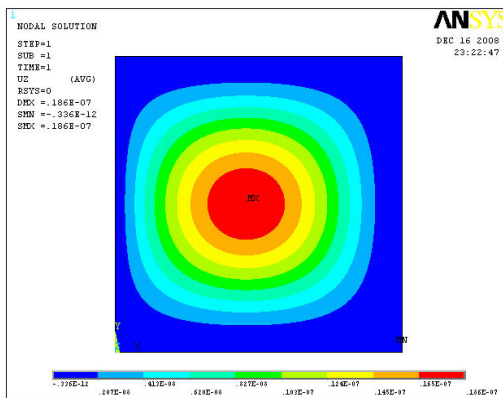
شکل (۳) مقایسه پاسخ روش کانتروویج توسعه یافته برای ورق FGM
تکیه گاه مفصلی (SSSS) تحت بارگذاری یکنواخت بر اساس ثوری CLPT با پاسخ روش ناولر

شکل های (۳) و (۴)، تغییرات خیز مرکز ورق تابعی را نسبت به مقادیر مختلف k ، برای دو نوع بارگذاری یکنواخت و سینوسی نشان می دهد. همانطور که مشاهده می شود برای شرایط مرزی مختلف، در هر نوع بارگذاری، با افزایش مقدار k ، خیز ورق نیز افزایش می یابد.

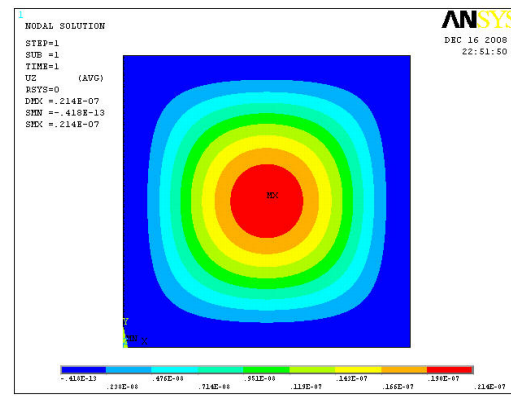


شکل (۴) تغییرات خیز ورق FGM نسبت به مقادیر مختلف k تحت بارگذاری
یکنواخت بر اساس ثوری CLPT

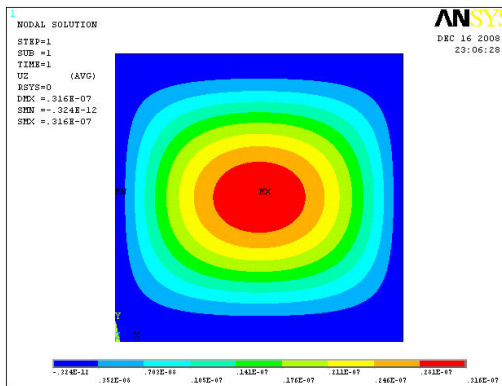
در ادامه نتایج به دست آمده با روش کانتروویج برای ورق FGM مقایسه شده است.
(k=5) با نتایج حاصل از حل ANSYS مدلی برای ورق FGM از آنجاییکه در مدلسازی ANSYS وجود ندارد، در تحلیل از ماکرونویسی استفاده شده است.
المان در نظر گرفته شده برای ورق FGM SOLID46 بوده و سایز المان در سطح ورق، mm^2 است.



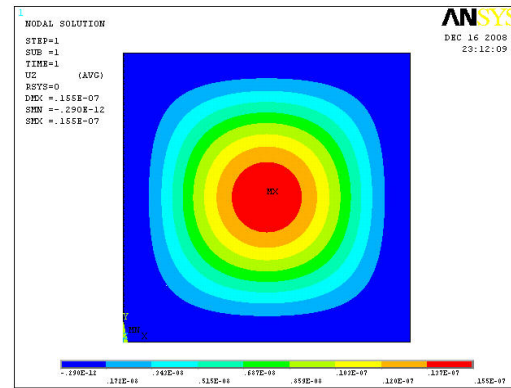
شکل (۱۱) پاسخ Ansys برای برش ورق (k=۵) تحت بارگذاری
سینوسی با شرط مرزی CCCS



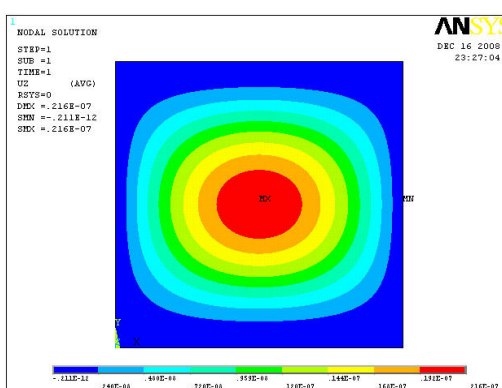
شکل (۱۲) پاسخ Ansys برای برش ورق (k=۵) تحت بارگذاری
سینوسی با شرط مرزی CCCC



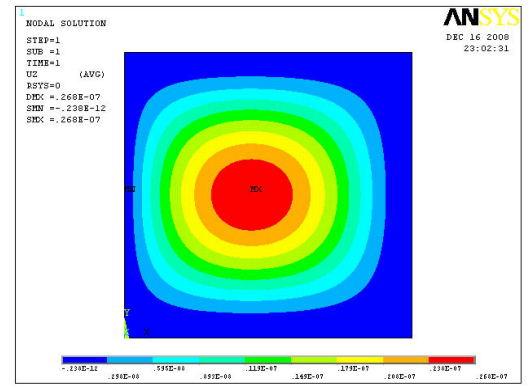
شکل (۱۳) پاسخ Ansys برای برش ورق (k=۵) تحت بارگذاری
سینوسی با شرط مرزی SCSC



شکل (۱۴) پاسخ Ansys برای برش ورق (k=۵) تحت بارگذاری
سینوسی با شرط مرزی CCCC



شکل (۱۵) پاسخ Ansys برای برش ورق (k=۵) تحت بارگذاری
سینوسی با شرط مرزی CCCS



شکل (۱۶) پاسخ Ansys برای برش ورق (k=۵) تحت بارگذاری
سینوسی با شرط مرزی SCSC

جدول (۲) مقایسه پاسخ روش کانتروویچ توسعه یافته برای ورق FGM با اساس ثوری CLPT با نتایج حاصل از حل ANSYS

شرایط مرزی	W[mm].e-3			
	بارگذاری یکنواخت		بارگذاری سینوسی	
	حل کانتروویچ	حل ANSYS با المان SOLID46	حل کانتروویچ	حل ANSYS با المان SOLID46
SSSS	۰,۰۵۴۵۸۳۲۹	۰,۰۵۹۶۸۳	۰,۰۳۴۵۷۹۷۹۹	۰,۰۳۸۱۲۶
CCCC	۰,۰۱۶۹۹۴۴۳۲	۰,۰۲۱۴۰۶	۰,۰۱۲۲۸۶۹۳	۰,۰۱۵۴۵۹
CCCS	۰,۰۲۱۰۸۵۰۵	۰,۰۲۶۲۹۵	۰,۰۱۴۷۴۰۸۸	۰,۰۱۸۳۸۴
SCSC	۰,۰۲۵۷۲۵۹۶	۰,۰۳۱۶۴۲	۰,۰۱۷۵۳۱۵۸۸	۰,۰۲۱۵۸۸

مقایسه جوابهای دقیق موجود تایید شده است. از آنجاییکه در ANSYS مدلی برای تحلیل ورق FGM وجود ندارد، در مدلسازی و تحلیل از برنامه نویسی ماکرو استفاده شده است. به این منظور ورق FGM به صورت یک ورق کامپوزیت ۱۰۰ لایه مدل شده است.

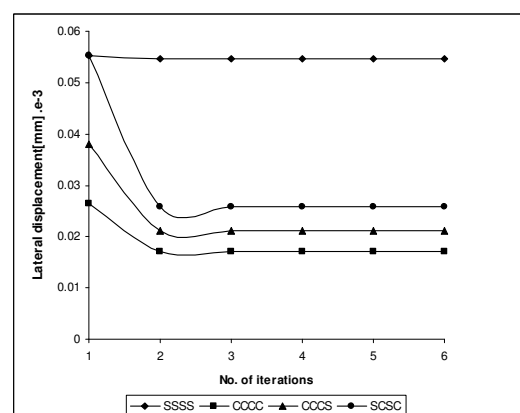
نتایج نشان می‌دهد روش تکرار شونده (کانتروویچ) به سرعت همگراست و دقت نسبتاً خوبی نسبت به نتایج ارائه شده بر اساس روش‌های تحلیلی دیگر دارد. همچنین در این مقاله نشان دادیم که شکل نهایی معادله به دست آمده برای خیز ورق و در نتیجه پاسخ‌های نهایی کاملاً مستقل از انتخاب جواب اولیه است. و به این ترتیب نشان داده شد که تابع آزمون اولیه لازم نیست هیچ یک از شرایط مرزی هندسی و طبیعی را ارضاء کند، زیرا جوابهای حل تکرار شونده، سرانجام هر مدل آرایش شرایط مرزی را ارضاء می‌کند.

مراجع

- [1] Grimm T.R., Analysis of the instability of rectangular plate using the doctoral dissertation Extende Kontorovich method, Unpublished, Michigan – Technologocal University, 1972.
- [2] Kantorovich L.V., krylor L.V., Approximate method of Higher Analysis, Interscience, NewYork, 1958.
- [3] Kerr AD, An extension of the Kantorovich method, *Quart Appl Math*, Vol.26, 1968, pp.219–229.
- [4] Reddy J.N., Energy and variational method in applied mechanics, 2002, pp.328-341.
- [5] Fariborz SJ, Pourbohloul A, Application of the extended Kantorovich method to the bending of variable thickness plates, *Comput Struct*, Vol.31, 1989, pp.957–965.

مقایسه نتایج حاصل از روش کانتروویچ توسعه یافته برای ورق FGM با شرایط تکیه گاهی متفاوت تحت بارگذاری یکنواخت و سینوسی با نتایج به دست آمده از حل ANSYS در جدول (۲) آورده شده است.

نتایج همگرایی برای ورق با شرایط مرزی متفاوت در شکل (۱۴) نشان داده شده است. همانطور که مشخص است تنها تعداد کمی تکرار برای حل هر ورق لازم است تا نتایج به همگرایی مطلوب برسد.



شکل (۱۴) همگرایی روش کانتروویچ برای ورق (k = ۵) تحت بارگذاری یکنواخت بر اساس ثوری CLPT

۶ - نتیجه گیری

در این مقاله رفتار خمی در ورق‌های FGM مستطیل شکل مورد بررسی قرار گرفت و پاسخ تحلیلی بر مبنای روش کانتروویچ به دست آمد. معادلات دیفرانسیل به دست CLPT آمده بر پایه روش گلرکین و بر مبنای ثوری به دست می‌آیند. همچنین اعتبار روش حل ارائه شده با

- free edges, *Int J Mech Sci.*, Vo.39, 1996, pp. 1127–1138.
- [19] Dalei M, Kerr AD, Analysis of clamped rectangular orthotropic plates subjected to uniform lateral load, *Int J Mech Sci* 1995, Vol.37, pp.527–535.
- [20] Kerr AD, Alexander H, An application of the extended Kantorovich method to the stress analysis of a clamped rectangular plate, *Acta Mechanica*, Vol.6, 1968, pp.180–196.
- [21] Lucy, Edery-Azulay, Haim, Abramovich, Piezo-laminated plates – Highly accurate solutions based on the extended Kantorovich method, 2007.
- [22] Reddy, J.N., Theory and analysis of elastic plates, 1998, pp.238-250.
- [23] Zhang , Da-Guang , Zhou , You-He , A theoretical analysis of FGM thin plates based on physical neutral surface, *Computational Materials Science* , 2008.
- [24] Jones R.M., Mechanics of composite materials, 1984, pp.175-160.
- [25] Lanhe Wu, Thermal buckling of a simply supported moderately thick rectangular FGM plate, *Composite Structure*, Vol. 64 , 2004, pp. 211-218.
- [6] Aghdam MM, Shakeri M, Fariborz ,SJ, Solution to the Reissner plate with clamped edges, *ASCE J Eng Mech*, Vol.122,1996, pp.679–682.
- [7] Aghdam MM, Falahatgar SR, Bending analysis of thick laminated plates using extended Kantorovich method, *Composite Structure*, Vol.62, 2003, pp.279–83.
- [8] Kerr AD, An extended Kantorovich method for the solution of eigenvalue problems, *Int J Solids Struct*, Vol.5, 1969, pp.559–72.
- [9] Jones R., Milne BJ, Application of extended Kantorovich method to the vibration of clamped rectangular plates, *J Sound Vib.*, Vol.45, 1976, pp.309–316.
- [10] Dalaei M, Kerr AD, Application of extended Kantorovich method to the vibration of clamped rectangular plates, *J. Sound Vib*, 1996, Vol.189, pp.399-406.
- [11] Yuan S, Jin Y, Computation of elastic buckling loads of rectangular thin plates using the extended Kantorovich method, *Comput Struct* 1998, Vol.66, pp.861–867.
- [12] Ungbhakorn V, Singhatanadgid P, Buckling analysis of symmetrically laminated composite plates by the extended Kantorovich method, *Compos Struct* 2006, Vol.73, pp.120–128.
- [13] Jana P, Bhaskar K , Stability analysis of simply-supported rectangular plates under non-uniform uni-axial compression using rigorous and approximate plane stress solutions, *Thin-Walled Struct*, Vol.44, 2006, pp.507–516.
- [14] Kim H.S., Cho M. , Kim G.I., Free-edge strength analysis in composite laminates by the extended Kantorovich method, *Composite Structures*, Vol. 49, 2000, pp.229–235.
- [15] Aghdam M.M., Mohammadi M., Erfanian V., Bending analysis of thin annular sector plates using extended Kantorovich method, *Thin-Walled Struct*, Vol.45, 2007, pp.983–990.
- [16] Aghdam MM, Mohammadi M, *Extended Kantorovich method for static analysis of thick orthotropic sector plates*, Proceedings of the international conference on modeling and optimization of structures, processes and systems, ICMOSPS/07, Durban, South Africa, 2007.
- [17] Abouhamze M , Aghdam ,MM , Alijani , F, Bending analysis of symmetrically laminated cylindrical panels using the extended Kantorovich method, *Mech Adv Mater Struct*, Vol.14, 2007, pp.523–530.
- [18] Liew KM, Xiang Y, Kitipornchai S, Analytical buckling solution for Mindlin plates involving